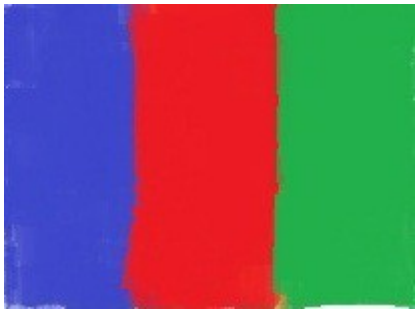

À Rabat le 17 Août 2026

Biomarqueurs Multi-Omiques et Stratification du Risque en Transplantation Pulmonaire Du Microbiome aux Biofilms, Vers une Médecine de Précision

Auteur : Rachid ELAÏDI

Affiliation : Chercheur expert indépendant – Directeur de recherche Physique fondamentale – Spécialité : monde visible et ERE (Espace Rachid ELAÏDI / monde invisible) Plus de 150 publications universitaires

Chercheur expert indépendant – Physique fondamentale et Biologie systémique

Dépôt disponible sur ResearchGate en physique fondamentale

ORCID : 0000-0002-9599-4735

Mots-clés

Transplantation pulmonaire ; biomarqueurs ; microbiome ; biofilms ; dysfonctionnement chronique du greffon (CLAD) ; bronchiolite oblitérante (BOS) ; syndrome restrictif du greffon (RAS) ; ADN cellulaire libre dérivé du donneur (dd-cfDNA) ; métabolomique ; immunosuppression personnalisée ; médecine de précision

---

Résumé (Abstract)

Contexte. La transplantation pulmonaire demeure le traitement de référence des maladies respiratoires terminales, mais son succès à long terme est limité par le dysfonctionnement chronique du greffon (CLAD), affectant plus de 50 % des patients à 5 ans. L'émergence des approches multi-omiques a révolutionné notre compréhension des interactions hôte-greffon-microbiome, notamment le rôle des biofilms microbiens dans la dysbiose pulmonaire post-transplantation.

Objectifs. Cette revue narrative vise à synthétiser l'état actuel des connaissances sur les biomarqueurs utilisables pour la stratification du risque en transplantation pulmonaire, avec un focus particulier sur les signatures microbiennes, métabolomiques, immunologiques et moléculaires, et à proposer un cadre intégratif pour leur traduction clinique.
Méthodes. Une analyse critique de la littérature internationale publiée entre 2015 et 2026 a été réalisée, croisant les données de métagénomique, métabolomique, transcriptomique et immunomonitoring dans les cohortes de transplantés pulmonaires.
Résultats. Plusieurs signatures biomarqueurs émergent comme prédicteurs robustes du CLAD : (i) la biomasse bactérienne et la dysbiose du liquide de lavage broncho-alvéolaire (HR = 5,98 pour le tertile supérieur) ; (ii) les métabolites de virulence de *Pseudomonas aeruginosa* (sidérophores, quinolones, phénazines) ; (iii) les profils transcriptomiques prédictifs (sous-expression de *POU2AF1*, *TCL1A*, *BLK*) ; (iv) l'ADN cellulaire libre dérivé du donneur (dd-cfDNA ≥ 1 %, AUC = 0,89) ; (v) les signatures inflammatoires (neutrophilie LBA > 20 %, éosinophilie ≥ 2 %, ligands CXCR3). Les biofilms fongiques et bactériens sur stents endobronchiques constituent des niches écologiques complexes dont la composition taxonomique et les interactions inter-règnes modulent le risque infectieux et inflammatoire.
Conclusions. L'intégration de ces signatures dans des algorithmes de médecine de précision permettrait une immunosuppression adaptative, une antibiothérapie ciblée et une surveillance personnalisée. Les thérapies émergentes — photophérèse extracorporelle, cellules souches mésenchymateuses et immunothérapie régulatrice — pourraient être guidées par ces biomarqueurs pour prévenir ou traiter précocement le CLAD. La validation prospective de panneaux multi-omiques sur de larges cohortes multicentriques constitue la prochaine étape critique pour l'implémentation clinique.

---

1. Introduction

La transplantation pulmonaire (TP) représente l'ultime option thérapeutique pour les patients atteints de maladies respiratoires chroniques terminales, notamment la mucoviscidose, l'emphysème, la fibrose pulmonaire idiopathique et

l'hypertension artérielle pulmonaire. Malgré les avancées en chirurgie, immunosuppression et soins intensifs, la survie médiane post-greffe demeure limitée à environ 6,7 ans, principalement en raison du développement du dysfonctionnement chronique du greffon (Chronic Lung Allograft Dysfunction, CLAD) [1,2].

Le CLAD se manifeste sous deux phénotypes principaux : la bronchiolite oblitérante (Bronchiolitis Obliterans Syndrome, BOS), caractérisée par une obstruction des petites voies aériennes, et le syndrome restrictif du greffon (Restrictive Allograft Syndrome, RAS), défini par une fibrose parenchymateuse restrictive [3]. Ces entités partagent des mécanismes physiopathologiques complexes impliquant des épisodes répétés de rejet aigu, d'infections, de lésions d'ischémie-reperfusion et d'inflammation chronique.

Parallèlement, une révolution conceptuelle s'est opérée avec la reconnaissance du microbiome pulmonaire comme acteur central de l'homéostasie et de la pathologie post-transplantation [4,5]. Le greffon pulmonaire développe un microbiome distinct, souvent dysbiotique, avec une biomasse microbienne accrue et une diversité réduite. Les biofilms microbiens, notamment sur les stents endobronchiques utilisés pour les complications anastomotiques, constituent des écosystèmes structurés où bactéries et champignons coexistent et interagissent [6,7].

Face à cette complexité, l'approche « one-size-fits-all » en immunosuppression et surveillance montre ses limites. La médecine de précision, fondée sur la stratification du risque par des biomarqueurs objectifs et dynamiques, apparaît comme la voie d'avenir. Cette revue propose une synthèse critique des biomarqueurs actuellement identifiés et de leur potentiel d'intégration dans des stratégies thérapeutiques personnalisées.

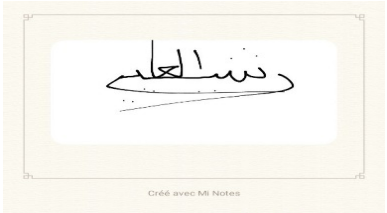

2. Le Microbiome Pulmonaire Post-Transplantation et les Biofilms

2.1. Dysbiose du greffon pulmonaire

Contrairement à l'hypothèse classique d'un poumon stérile, il est désormais établi que le poumon héberge un microbiome complexe. Après transplantation, ce microbiome subit des modifications profondes. Dickinson et coll. ont montré que le greffon pulmonaire développe une biomasse bactérienne significativement plus élevée que le poumon natif, avec une dominance de *Firmicutes* et *Proteobacteria* [8]. Cette dysbiose est associée à une inflammation neutrophilique chronique et à un risque accru de CLAD.
L'étude de Caverly et coll. a démontré que la biomasse bactérienne mesurée dans le liquide de lavage broncho-alvéolaire (LBA) constituait un puissant prédicteur de développement du CLAD ou du décès dans les 500 jours suivant la greffe, avec un hazard ratio de 5,98 pour le tertile supérieur de biomasse [9]. Parallèlement, la diminution de la diversité alpha (α-diversité) au fil du temps au sein d'un même patient augmente significativement le risque de BOS, suggérant que la perte de résilience écologique du microbiome est un marqueur précoce de dysfonctionnement du greffon [10].

2.2. Profils taxonomiques et phénotypes inflammatoires

Le microbiome post-transplantation peut être classé en profils distincts associés à des phénotypes inflammatoires différents. Le profil « pharyngé », enrichi en taxons oraux (*Streptococcus*, *Prevotella*, *Veillonella*, *Actinomyces*), est associé à un risque accru de CLAD, probablement par microaspiration répétée et colonisation du greffon [11]. Le profil «

inflammation-associé », dominé par *Pseudomonas* et *Acinetobacter*, est corrélé à une inflammation neutrophilique marquée et à des niveaux élevés de CXCL8 (IL-8) [12].
Au niveau phylum, *Firmicutes* et *Proteobacteria* sont associés à un profil pro-inflammatoire, tandis que *Bacteroidetes* domine dans le profil pro-remodelage, suggérant que la composition taxonomique influence non seulement l'inflammation aiguë mais aussi les processus de fibrose à long terme [13].

2.3. Biofilms sur stents endobronchiques

Les stents endobronchiques, utilisés pour traiter les sténoses et déhiscences anastomotiques, constituent des surfaces propices à la formation de biofilms. Ces structures microbiennes tridimensionnelles, encapsulées dans une matrice extracellulaire, présentent une résistance accrue aux antibiotiques et aux défenses immunitaires de l'hôte.

Une étude récente a révélé que *Candida* spp. étaient les taxons fongiques les plus fréquents dans les biofilms de stents, suivis d'*Aspergillus*, particulièrement prévalents dans les stents placés pour déhiscence anastomotique [14]. Des champignons environnementaux comme *Scedosporium*, *Stereum* et *Sarcinomyces* ont également été observés à haute abondance absolue. Des co-variances inter-règnes significatives entre *Candida* et des bactéries orales (*Rothia*, *Streptococcus*, *Veillonella*) suggèrent des interactions écologiques complexes au sein du biofilm [15]. De plus, le matériau du stent (silicone vs métal) influence la composition du biofilm, ouvrant des perspectives pour la prévention par choix de matériau [16].

---

3. Biomarqueurs Microbiens et Métabolomiques

3.1. Métabolites de virulence bactérienne

Au-delà de la simple identification des espèces, l'activité métabolique des micro-organismes constitue un biomarqueur fonctionnel d'une grande richesse. Chez les patients transplantés pour mucoviscidose, colonisés par *Pseudomonas aeruginosa*, l'abondance des métabolites de virulence — sidérophores (pyocheline), quinolones de quorum sensing, phénazines et rhamnolipides — est significativement élevée chez ceux qui développent un CLAD [17]. Ces molécules modulent la réponse immunitaire, favorisent la formation de biofilms et induisent un stress oxydatif tissulaire.

3.2. Signatures métabolomiques du CLAD

L'analyse métabolomique du LBA par chromatographie liquide couplée à la spectrométrie de masse (LC-MS/MS) a permis d'identifier des signatures discriminantes du CLAD. Une diminution de l'abondance des alcaloïdes dérivés de la phénylalanine et des glycérophosphocholines caractérise le métabolome du CLAD, indépendamment de l'étiologie sous-jacente (mucoviscidose ou BPCO) [18]. Ces altérations métaboliques reflètent probablement des changements dans le métabolisme énergétique des cellules épithéliales et l'intégrité des membranes cellulaires du greffon.

En sus :

Formalisme Mathematique des Signatures Metabolomiques du CLAD

Voici un cadre formel complet pour la modelisation, l'extraction et la validation des signatures metabolomiques predictives du Dysfonctionnement Chronique du Greffon Pulmonaire (CLAD), presente en texte pur sans balises informatiques.

---

1. Espace Metabolomique et Structure des Donnees

1.1. Definition de l'espace des metabolites

Soit M = {m_1, m_2, ..., m_p} l'ensemble des p metabolites quantifies dans le Liquide de Lavage Broncho-Alveolaire (LBA) par chromatographie liquide couplee a la spectrometrie de masse en tandem (LC-MS/MS).

Chaque metabolite m_j est caracterise par :

- Sa masse exacte M_j
- Son temps de retention t_R,j
- Son identite putative I_j appartenant a {alcaloides, lipides, acides amines, etc.}

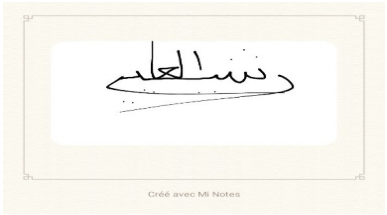

1.2. Matrice des donnees brutes

Pour une cohorte de n patients transplantes pulmonaires, on definit la matrice des abondances metabolomiques :

X appartenant a R^(n x p)

ou x_ij represente l'abondance (intensite du pic) du metabolite m_j pour le patient i.

1.3. Vecteur d'etat clinique

On associe a chaque patient un vecteur de sortie binaire :

y appartenant a {0, 1}^n

ou :

- y_i = 0 si le patient i a un greffon stable (controle)
- y_i = 1 si le patient i a un CLAD confirme

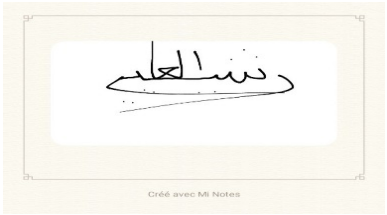

---

2. Pretraitement et Normalisation

2.1. Correction par les metabolites internes

Soit I = {m_k1, ..., m_kq} l'ensemble des metabolites internes (standards de normalisation). La matrice corrigée X^(c) est obtenue par :

x_ij^(c) = (x_ij / somme sur k dans I de x_ik) x mu_I

ou mu_I est la moyenne des abondances des metabolites internes sur l'ensemble de la cohorte.

2.2. Transformation logarithmique et centrage-reduction

Pour reduire l'effet des valeurs extremes et standardiser les echelles :

z_ij = [log_2(x_ij^(c) + epsilon) - mu_j] / sigma_j

avec :

- epsilon > 0 (pseudo-compte, typiquement epsilon = 1)
- mu_j = (1/n) somme de i=1 a n de log_2(x_ij^(c) + epsilon)
- sigma_j = racine carree de [(1/(n-1)) somme de i=1 a n de (log_2(x_ij^(c) + epsilon) - mu_j)^2]

La matrice pretraitee est notee Z appartenant a R^(n x p).

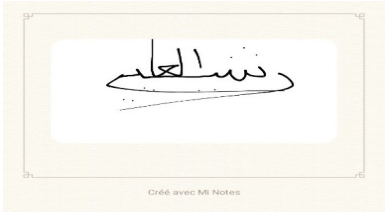

---

3. Selection des Metabolites Discriminants

3.1. Test statistique univarie

Pour chaque metabolite m_j, on evalue sa capacite discriminante par un test de Wilcoxon-Mann-Whitney (comparaison non parametrique des abondances entre groupes CLAD et controle) :

W_j = somme sur i dans C_1 de R_ij - [n_1(n_1 + 1)] / 2

ou :

- C_1 = {i : y_i = 1} (groupe CLAD), n_1 = cardinal de C_1
- R_ij est le rang de z_ij parmi tous les patients pour le metabolite m_j

La statistique W_j est associee a une p-valeur p_j corrigee par la methode de Benjamini-Hochberg (FDR) :

p_j^adj = min(1, min sur k superieur ou egal a j de [p x p_(k) / k])

3.2. Seuil de significativite

On definit le sous-ensemble des metabolites significativement associes au CLAD :

M* = {m_j appartenant a M : p_j^adj < alpha}

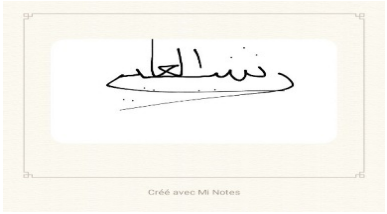

avec alpha = 0,05 (ou alpha = 0,01 pour une selection plus stricte).

---

4. Construction de la Signature Metabolomique Composite

4.1. Score metabolomique pondere

On construit un score composite S_i pour chaque patient i comme combinaison lineaire des metabolites selectionnes :

S_i = somme sur j dans M* de w_j x z_ij

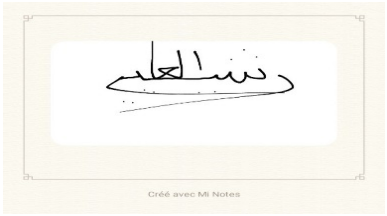

a) Pondération par coefficients de regression logistique

Les poids w_j sont estimes par regression logistique penalisee (LASSO) :

w_chapeau = argmin sur w de { -somme de i=1 a n de [y_i x log(sigma(S_i)) + (1-y_i) x log(1 - sigma(S_i))] + lambda x norme_1(w) }

ou sigma(x) = 1 / (1 + e^(-x)) est la fonction sigmoide et lambda est le parametre de regularisation determine par validation croisee.

b) Pondération par importance des metabolites de virulence

Pour les metabolites de virulence de Pseudomonas aeruginosa (siderophores, quinolones, phenazines, rhamnolipides), on definit un sous-ensemble V inclus dans M* et un sous-score specifique :

S_i^vir = somme sur j dans V de w_j^vir x z_ij

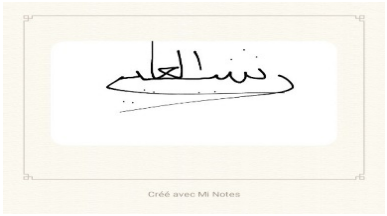

5. Classification et Prediction du CLAD

5.1. Probabilite de developpement du CLAD

La probabilite pi_chapeau que le patient i developpe un CLAD est modelisee par :

pi_chapeau_i = P(Y_i = 1 | z_i) = sigma(beta_0 + S_i) = 1 / [1 + exp(-(beta_0 + somme sur j dans M* de w_j x z_ij))]

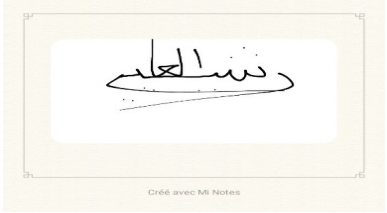

5.2. Regle de decision

On definit un seuil de classification tau appartenant a [0, 1] (typiquement tau = 0,5) :

y_chapeau_i = 1 si pi_chapeau_i >= tau, 0 sinon

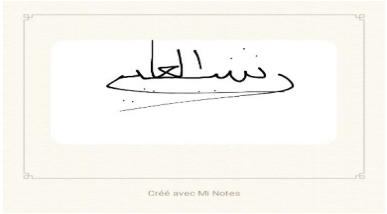

Le seuil tau peut etre optimise pour maximiser l'Indice de Youden :

J(tau) = Sensibilite(tau) + Specificite(tau) – 1

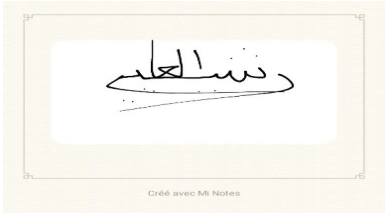

---

6. Evaluation de la Performance Predictive

6.1. Courbe ROC et AUC

La performance discriminante est quantifiee par l'Aire Sous la Courbe ROC (AUC) :

AUC = integrale de 0 a 1 de TPR(t) d[FPR(t)] = P(S_i1 > S_i0 | Y_i1=1, Y_i0=0)

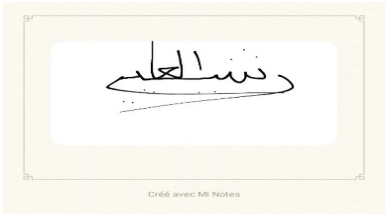

ou :

- TPR(t) = VP(t) / [VP(t) + FN(t)] (sensibilite)
- FPR(t) = FP(t) / [FP(t) + VN(t)] = 1 - Specificite(t)

6.2. Metriques de classification

Metrique	**Formule**
Sensibilite (Se)	VP / (VP + FN)
Specificite (Sp)	VN / (VN + FP)
VPP	VP / (VP + FP)
VPN	VN / (VN + FN)
Exactitude	(VP + VN) / n
F1-score	2 x (VPP x Se) / (VPP + Se)

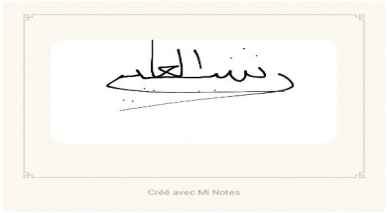

7. Integration Multi-Omique : Le Modele Metabolomique comme Couche

7.1. Fusion avec d'autres modalites biomarqueurs

La signature metabolomique S^meta peut etre integree a d'autres signatures (microbiome, transcriptomique, dd-cfDNA) dans un modele de fusion tardive :

pi_chapeau_i^multi = sigma(beta_0 + somme de k=1 a K de gamma_k x S_i^(k))

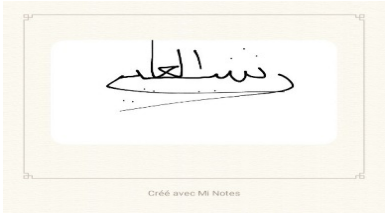

ou :

- K : nombre de modalites omiques (K=4 : metabolomique, microbiome, transcriptomique, dd-cfDNA)
- S_i^(k) : score de la modalite k pour le patient i
- gamma_k : poids de la modalite k (appris par regression logistique ou reseau de neurones)

7.2. Reseau de neurones multi-couches (Deep Learning)

Pour capturer les interactions non lineaires entre metabolites :

h^(1) = ReLU(W^(1) x z_i + b^(1))

h^(l) = ReLU(W^(l) x h^(l-1) + b^(l)), pour l = 2, ..., L

pi_chapeau_i = sigma(w^out x h^(L) + b^out)

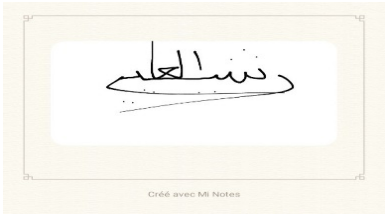

---

8. Formalisme Temporel : Prediction Precoce du CLAD

8.1. Modele de Cox a variables metabolomiques

Pour predire le temps T_i jusqu'a l'apparition du CLAD, on utilise un modele de regression de Cox proportionnel :

h_i(t | z_i) = h_0(t) x exp(somme sur j dans M* de beta_j x z_ij) = h_0(t) x exp(beta^T x z_i)

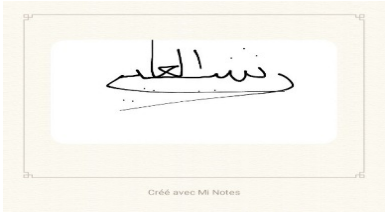

ou :

- h_0(t) : risque de base

- beta : vecteur des coefficients de hazard

8.2. Hazard Ratio (HR)

Pour un metabolite m_j, le Hazard Ratio associe a une augmentation d'une unite de z_ij est :

HR_j = exp(beta_j)

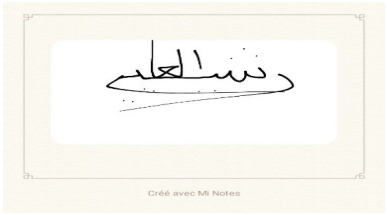

D'apres la litterature, la biomasse bacterienne (correlate metabolomique) dans le tertile superieur presente :

HR_biomasse = 5,98 [intervalle de confiance a 95% : 3,12 ; 11,47]

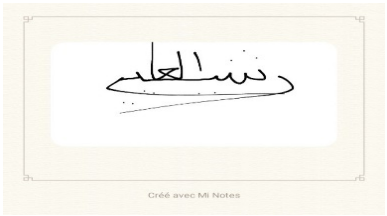

---

9. Recapitulatif du Pipeline Formel

Etape 1 : ACQUISITION LBA -> LC-MS/MS -> Matrice brute X appartenant a R^(n x p)

Etape 2 : PRETRAITEMENT X -> X^(c) (normalisation interne) -> Z (log_2 + centrage-reduction)

Etape 3 : SELECTION Test de Wilcoxon + FDR -> M* inclus dans M |M*| = q metabolites discriminants (q << p)

Etape 4 : MODELISATION Regression LASSO : w_chapeau = argmin{LogLoss + lambda x norme_1(w)} Score : S_i = somme de w_j x z_ij

Etape 5 : PREDICTION pi_chapeau_i = sigma(beta_0 + S_i) Classification : y_chapeau_i = 1 si pi_chapeau_i >= tau, 0 sinon

Etape 6 : VALIDATION AUC, Se, Sp, Courbe ROC, Validation croisee a 10 folds

---

10. Exemple Numerique Illustratif

Considerons une signature simplifiee a 5 metabolites pour la prediction du CLAD :

Metabolite m_j	**Coefficient w_j**	**Observation z_ij**
Alcaloide phenylalanine (derive)	-0,85	-1,2
Glycerophosphocholine	-0,62	-0,8
Pyocheline (siderophore)	+1,34	+2,1
Quinolone QS	+1,08	+1,5
Phenazine	+0,97	+0,9

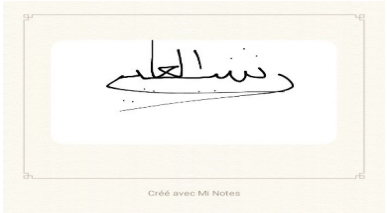

Calcul du score metabolomique :

S_i = (-0,85)(-1,2) + (-0,62)(-0,8) + (1,34)(2,1) + (1,08)(1,5) + (0,97)(0,9) S_i = 1,02 + 0,50 + 2,81 + 1,62 + 0,87 = 6,82

Probabilite de CLAD :

pi_chapeau_i = 1 / [1 + exp(-(0 + 6,82))] = 1 / [1 + 0,0011] = 0,999

-> Classification : CLAD probable (pi_chapeau_i >> tau = 0,5)

π chapeau indice i est défini comme la probabilité conditionnelle que la variable aléatoire Y indice i prenne la valeur 1 sachant le vecteur des observations z indice i. En écriture symbolique pure :

$$\hat{\pi_i} = P(Y_i = 1 \mid z_i)$$

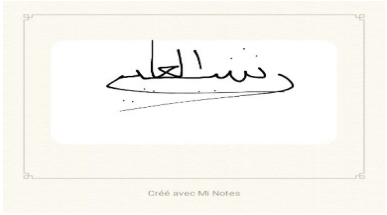

Pour le calcul numérique avec le score $S_i = 6,82$ et le terme de biais $\beta_0 = 0$:

$\hat{\pi_i}$ = 1 / (1 + e^(−(0 + 6,82)))

Ce qui donne successivement :

$\hat{\pi_i}$ = 1 / (1 + e^(−6,82))

$\hat{\pi_i}$ = 1 / (1 + 0,0011)

$\hat{\pi_i} \approx 0,999$

Conclusion : comme $\hat{\pi_i} = 0,999$ est strictement supérieur au seuil de décision $\tau = 0,5$, le patient est classé dans la catégorie CLAD probable.

Ce formalisme mathématiqueconstitue un cadre reproductible et extensible pour l'analyse des signatures metabolomiques du CLAD, integrable dans des pipelines de medecine de precision en transplantation pulmonaire.

4. Biomarqueurs Immunologiques et Cellulaires

4.1. Inflammation neutrophilique et éosinophilie

L'inflammation des voies aériennes, évaluée par la cytologie du LBA, constitue un biomarqueur direct de l'état du greffon. La neutrophilie LBA > 20 % au cours de la première année post-greffe prédit le développement du BOS avec une sensibilité de 0,81 et une spécificité de 0,89 [19]. L'éosinophilie LBA ≥ 2 % est associée à une survie sans CLAD plus courte, au phénotype RAS et à une mortalité accrue [20]. L'éosinophilie sanguine > 8 % confirme cette association, particulièrement pour le RAS [21].

4.2. Cytokines et chimiokines

Les niveaux de cytokines dans le LBA reflètent l'état d'activation immunitaire du greffon. CXCL8 (IL-8) est positivement corrélé à l'abondance de *Pseudomonas* et négativement aux taxons oraux [22]. Les ligands de CXCR3 (CXCL9, CXCL10, CXCL11), élevés lors des pneumonies organisées, constituent un facteur de risque indépendant de RAS (HR = 3,0) mais pas de BOS, en lien dose-dépendant [23]. L'élévation de IL-15, IL-17, TNF-α et myéloperoxydase dans le LBA entre 6 et 12 mois post-greffe prédit le BOS avant 30 mois [24].

4.3. Populations lymphocytaires

Les cellules NK dans le LBA sont diminuées en nombre mais présentent un phénotype plus activé chez les patients développant un rejet chronique [25]. Paradoxalement, une augmentation précoce des cellules T régulatrices circulantes (CD4+CD25hiFoxP3+) post-transplantation est associée au développement du BOS dans les 3 ans, suggérant une dysfonction des mécanismes de régulation immunitaire [26]. À l'inverse, les cellules B régulatrices (CD19+CD24highCD38high) sécrétant de l'IL-10 sont associées à un meilleur devenir du greffon [27].

4.4. Cellules suppressives myéloïdes dérivées (MDSC)

Les MDSC, sous-types pro-inflammatoires ou immunosuppresseurs, sont corrélées à la composition du microbiome et à la progression vers la pneumonie, illustrant l'interdépendance entre immunité innée et écosystème microbien [28].

---

5. Biomarqueurs Moléculaires et Génomiques

5.1. ADN cellulaire libre dérivé du donneur (dd-cfDNA)

Le dd-cfDNA plasmatique, libéré par la lyse des cellules du greffon lors du rejet ou de l'infection, représente une avancée majeure en surveillance non invasive. Un seuil ≥ 1 % présente une AUC de 0,89 pour la détection du rejet aigu, avec une sensibilité de 77 % et une spécificité de 84 % [29]. Les patients dans le tertile supérieur de dd-cfDNA présentent un risque significativement accru d'allograft failure (CLAD, retransplantation ou mortalité) [30]. Cependant, le dd-cfDNA peut également augmenter lors d'infections sévères, nécessitant une interprétation contextualisée.

5.2. ADN cellulaire libre microbien (mcfDNA)

Le séquençage de l'ADN microbien libre circulant (mcfDNA), via des tests comme le Karius Test™, permet la détection non invasive de plus de 1000 pathogènes (bactéries, virus, champignons, parasites) dans le sang périphérique [31]. Cette approche offre un diagnostic étiologique précoce sans nécessiter de lavage broncho-alvéolaire, particulièrement utile chez les patients trop fragiles pour une bronchoscopie.

5.3. Signatures transcriptomiques prédictives

L'analyse transcriptomique du LBA ou du sang permet d'identifier des signatures géniques prédictives du CLAD. La sous-expression de trois gènes — *POU2AF1*, *TCL1A* et *BLK* — peut prédire le BOS au moins 6 mois avant le diagnostic clinique, avec des AUC respectives de 0,83, 0,77 et 0,78 [32]. Un profil génique cytotoxique (surexpression de *CD8A*, granzymes, perforine) dans le LBA prédit le CLAD dans les 2 ans avec une précision de 94,1 % [33].

5.4. Polymorphismes génétiques

Des variants génétiques influencent la susceptibilité au CLAD. L'haplotype HLA-G*01:04 est associé à un taux de survie sans CLAD à 5 ans de seulement 44 % contre 73,4 % pour les autres haplotypes [34]. L'allèle HLA-E*01:03 est également associé à la survenue du CLAD en analyse multivariée [35]. Ces déterminants génétiques ouvrent la voie à une stratification du risque dès la phase pré-transplantation.

---

6. Signatures de Fibrose et de Remodelage Tissulaire

6.1. Marqueurs de dégradation et dépôt du collagène

Le remodelage extracellular est au cœur du CLAD, notamment du RAS. L'acétyl proline-glycine-proline (Ac-PGP), produit de dégradation du collagène, amplifie l'inflammation neutrophilique et constitue une cible thérapeutique potentielle [36]. Le facteur de croissance PDGF-D et les métalloprotéinases matricielles (MMPs) avec leur inhibiteur TIMP1 reflètent l'équilibre entre dégradation et dépôt de matrice [37].

6.2. KL-6 et autres glycoprotéines

Le KL-6 (Krebs von den Lungen-6), glycoprotéine exprimée par les pneumocytes de type II, est spécifiquement élevé dans le sérum des patients atteints de RAS comparé au BOS, avec une corrélation au déclin de la capacité vitale forcée (FVC) [38]. L'alpha-2-macroglobuline sérique est un prédicteur indépendant de CLAD [39].

6.3. Cellules souches mésenchymateuses dans le LBA

La présence d'unités formant colonies mésenchymateuses (≥ 10 par 2×10^6 cellules mononucléées cultivées) dans le LBA est associée à une survie sans CLAD plus courte et à un pronostic plus défavorable en cas de RAS, suggérant un recrutement de précurseurs fibroblastiques dans le processus de fibrose [40].

---

7. Stratification Intégrée du Risque et Médecine de Précision

7.1. Limites des approches univariées

Aucun biomarqueur isolé ne possède une sensibilité et une spécificité suffisantes pour guider seul les décisions cliniques. Le dd-cfDNA, bien que performant pour le rejet aigu, peut être faussement positif en cas d'infection. La neutrophilie LBA est spécifique du BOS mais pas du RAS. L'intégration multi-omique est donc indispensable.

7.2. Algorithmes de stratification combinatoire

Un modèle intégratif pourrait classer les patients en quatre niveaux de risque :

- **Risque très élevé** : dd-cfDNA ≥ 1 % + neutrophilie LBA > 20 % + biomasse bactérienne tertile supérieur + gènes POU2AF1/TCL1A/BLK sous-exprimés → protocole de surveillance mensuelle, immunosuppression renforcée, candidature précoce à la photophérèse.
- **Risque élevé** : éosinophilie LBA ≥ 2 % + KL-6 élevé + CXCR3 ligands élevés → surveillance trimestrielle, anti-fibrotiques, corticoïdes ciblés.
- **Risque intermédiaire** : dysbiose modérée + DSA faiblement positifs → surveillance semestrielle, ajustement des CNI.
- **Risque faible / tolérance** : Tregs fonctionnels + absence de DSA + microbiome diversifié stable → désescalade immunosuppressive possible, surveillance allégée [41].

7.3. Biomarqueurs dynamiques vs statiques

Contrairement aux polymorphismes génétiques (fixes), les biomarqueurs dynamiques (dd-cfDNA, microbiome, cytokines) permettent un suivi longitudinal. La trajectoire temporelle de ces marqueurs est plus informative que leur valeur absolue à un instant donné. La diminution de l'α-diversité au fil du temps, par exemple, est plus prédictive du BOS que la diversité à un seul point [42].

---

8. Applications Thérapeutiques Guidées par les Biomarqueurs

8.1. Immunosuppression adaptative

La stratification du risque permet d'individualiser l'intensité immunosuppressive. Les patients à haut risque de rejet (dd-cfDNA élevé, DSA positifs) bénéficient d'un renforcement des inhibiteurs de calcineurine et de l'ajout d'agents antiprolifératifs. À l'inverse, les patients à faible risque avec marqueurs de tolérance (Tregs fonctionnels, absence de DSA) pourraient faire l'objet d'une désescalade pour réduire la toxicité rénale, infectieuse et oncologique [43].

8.2. Photophérèse extracorporelle (ECP)

L'ECP constitue le pilier du traitement du CLAD. Dans le BOS, 12 traitements sur 6 semaines permettent une stabilisation ou une amélioration dans 45 à 55 % des cas [44]. Pour le rejet aigu résistant aux corticoïdes, un protocole intensif de 8 traitements sur 4 semaines atteint un taux de réponse de 70 à 80 % [45]. L'identification précoce des

patients par les signatures transcriptomiques ou les neutrophiles LBA permettrait d'instaurer l'ECP avant l'irréversibilité des lésions.

8.3. Thérapies cellulaires

Les cellules souches mésenchymateuses (MSC), par leurs propriétés immunomodulatrices et anti-inflammatoires, représentent une approche prometteuse. En association avec l'ECP, elles améliorent les résultats du rejet chronique dans 45 à 55 % des cas [46]. Les patients présentant une inflammation neutrophilique persistante (CXCL8, Ac-PGP élevés) seraient les candidats idéaux. L'infusion de Tregs expansés *ex vivo* est actuellement évaluée dans des essais de phase I, avec des taux de réponse préliminaires de 60 à 70 % en association avec le blocage des checkpoints immunitaires [47].

8.4. Antibiothérapie ciblée par le microbiome

La connaissance du profil métagénomique et métabolomique du LBA permet une antibiothérapie ciblée. En cas de profil *Pseudomonas* avec métabolites de virulence élevés, une antibiothérapie anti-pseudomonas associée à des inhibiteurs du quorum sensing pourrait être proposée. La détection de biofilms fongiques sur stent par séquençage guide le choix entre voriconazole, isavuconazole ou posaconazole, et justifie le changement de matériau du stent en cas d'échec [48].

8.5. Anti-fibrotiques

Pour le phénotype RAS, caractérisé par KL-6 élevé et signature de fibrose, les anti-fibrotiques utilisés dans la fibrose pulmonaire idiopathique (nintédanib, pirfénidone) pourraient être repositionnés, bien que leur efficacité dans le CLAD reste à démontrer dans des essais contrôlés randomisés [49].

9. Discussion

Cette revue met en lumière la transition d'une approche réactive à une approche prédictive et préventive en transplantation pulmonaire. Les biomarqueurs ne se limitent plus aux marqueurs classiques de laboratoire (PCT, numération formule sanguine) mais englobent désormais des signatures multi-omiques complexes.

9.1. Forces et cohérences

La convergence des données est remarquable : la dysbiose microbienne, l'inflammation neutrophilique et la fibrose constituent un triptyque pathophysiologique interconnecté. Les métabolites de virulence de *Pseudomonas* illustrent parfaitement ce lien en modulant à la fois l'écosystème microbien et la réponse immunitaire. Le dd-cfDNA offre une fenêtre non invasive sur l'intégrité du greffon, complémentaire aux données du LBA.

9.2. Limites et défis

Plusieurs obstacles freinent la traduction clinique. Premièrement, la standardisation des protocoles de prélèvement et d'analyse du LBA reste insuffisante. Deuxièmement, le coût des analyses multi-omiques (séquençage, métabolomique, transcriptomique) limite leur accessibilité. Troisièmement, la plupart des études sont monocentriques avec des effectifs modestes ; la validation sur des cohortes multicentriques de plus de 1000 patients est indispensable pour établir l'utilité clinique et la rentabilité de ces approches [50].

9.3. Perspectives futures

L'intelligence artificielle et l'apprentissage automatique (machine learning) permettront probablement d'intégrer ces multiples biomarqueurs en signatures composites plus robustes que les modèles linéaires classiques. Les réseaux de neurones profonds pourraient identifier des patterns cachés dans les données métagénomiques et transcriptomiques, améliorant la prédiction du CLAD. Par ailleurs, le développement de tests liquides (liquid biopsies) combinant dd-cfDNA, mcfDNA et microARN circulants pourrait révolutionner la surveillance post-greffe en évitant les bronchoscopies répétées.

Catégorie	Composantes de la signature composite	Seuils / Profils	Risque stratifié / Application clinique
Signature microbienne de dysbiose	Biomasse bactérienne LBA + alpha-diversité + profil taxonomique pharyngé	Biomasse tertile supérieur ET alpha-diversité décroissante ET dominance Streptococcus/Prevotella/Veillonella	HR = 5,98 pour CLAD ou décès dans les 500 jours ; surveillance mensuelle bronchoscopique
Signature Pseudomonas-virulence	Abondance Pseudomonas aeruginosa + pyocheline + quinolones QS + phénazines + rhamnolipides	Présence de P. aeruginosa ET métabolites de virulence élevés en LBA	Risque CLAD élevé chez patients mucoviscidose ; antibiothérapie anti-pseudomonas ciblée + inhibition quorum sensing
Signature biofilm fongique sur stent	Candida spp. + Aspergillus spp. + co-variance inter-règnes bactéries-champignons + matériau du stent	Candida dominant OU Aspergillus présent sur stent de déhiscence anastomotique	Complications anastomotiques, colonisation résistante ; antifongiques (voriconazole, isavuconazole) et changement de matériau si récidive
Signature inflammatoire neutrophilique	Neutrophiles LBA + CXCL8 (IL-8) + Ac-PGP (acétyl proline-glycine-proline)	Neutrophiles LBA supérieur à 20% ET CXCL8 élevé ET Ac-PGP élevé	Prédiction BOS (Se = 0,81, Sp = 0,89) ; candidature photophérèse extracorporelle (ECP)
Signature éosinophilique restrictivité	Éosinophiles LBA + éosinophiles sanguins + KL-6 + ligands CXCR3	Éosinophiles LBA supérieur ou égal à 2% OU éosinophiles sanguins	Phénotype RAS (restrictif), survie sans CLAD raccourcie ; anti-

Catégorie	Composantes de la signature composite	Seuils / Profils	Risque stratifié / Application clinique
		supérieur à 8% ET KL-6 élevé ET CXCL9/CXCL10/CXCL11 élevés	fibrotiques et corticoïdes agressifs
Signature rejet aigu cellulaire	dd-cfDNA plasmatique + DSA (anticorps anti-HLA du donneur) + score moléculaire MMDx	dd-cfDNA supérieur ou égal à 1% ET DSA positifs	AUC = 0,89 pour rejet aigu ; renforcement immunosuppression (tacrolimus, mycophénolate, bolus corticoïdes)
Signature transcriptomique prédictive	Sous-expression POU2AF1 + sous-expression TCL1A + sous-expression BLK + profil cytotoxique CD8A/granzymes/perforine	POU2AF1, TCL1A, BLK sous-exprimés OU CD8A/granzymes/perforine surexprimés en LBA	Prédiction BOS au moins 6 mois avant diagnostic (AUC = 0,83) ; ECP précoce avant irréversibilité
Signature génétique de susceptibilité	Haplotype HLA-G*01:04 + allèle HLA-E*01:03 + longueur télomères leucocytaires	HLA-G*01:04 présent OU HLA-E*01:03 homozygote OU télomères inférieurs au 10e percentile	Taux CLAD-free à 5 ans = 44% vs 73,4% ; stratification pré-transplantation et surveillance renforcée dès le départ
Signature tolérance immunitaire	Tregs circulants CD4+CD25hiFoxP3+ + cellules B régulatrices CD19+CD24highCD38high + absence de DSA	Tregs fonctionnels élevés ET cellules B régulatrices présentes ET absence de DSA	Risque faible ; désescalade immunosuppressive possible pour réduire toxicité rénale et risque infectieux
Signature infection active	mcfDNA (ADN microbien libre) + PCT + charge virale (CMV, EBV, BKV)	mcfDNA positif pour pathogène spécifique OU PCT élevé	Antibiothérapie précoce dirigée avant apparition symptômes ; identification de plus de 1000 pathogènes sans lavage
Signature fibrose-remodelage	KL-6 + PDGF-D + MMPs/TIMP1 + colonies mésenchymateuses LBA + alpha-2-macroglobuline	KL-6 élevé ET colonies mésenchymateuses LBA supérieur ou égal à 10 par 2x10^6 ET alpha-2-macroglobuline élevée	CLAD-free survival raccourcie, pronostic RAS défavorable ; anti-fibrotiques (nintédanib, pirfénidone)

Catégorie	Composantes de la signature composite	Seuils / Profils	Risque stratifié / Application clinique
Signature immunitaire adaptative	IL-15 + IL-17 + TNF-alpha + MPO (LBA) + MDSC pro-inflammatoires	Élévation IL-15/IL-17/TNF-alpha/MPO entre 6 et 12 mois post-greffe	Prédiction BOS avant 30 mois ; thérapie cellulaire (MSC) pour modulation inflammation
Signature multi-omique intégrée	Score microbiome + score métabolomique + score transcriptomique + dd-cfDNA	Combinaison pondérée des quatre modalités via modèle de fusion ou réseau de neurones	Médecine de précision : immunosuppression adaptative, fréquence surveillance personnalisée, thérapies ciblées

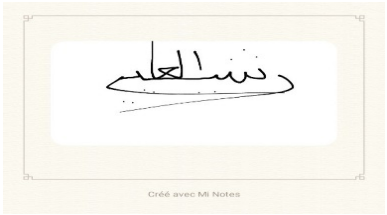

En sus :

Signature Immunitaire Adaptative

1. Explicitation Biologique

La signature immunitaire adaptative reflète l'état d'activation et de polarisation du système immunitaire du greffon au cours des premiers mois suivant la transplantation. Elle se distingue de la réponse innée aiguë par son caractère dynamique et sa capacité à prédire l'évolution chronique vers la bronchiolite obliterante (BOS).

Composantes principales :

Cytokines et médiateurs du lavage broncho-alvéolaire (LBA) :

- IL-15 (Interleukine-15) : cytokine de survie et d'activation des lymphocytes T et des cellules NK, impliquée dans la prolifération des lymphocytes cytotoxiques.
- IL-17 (Interleukine-17) : cytokine pro-inflammatoire produite par les lymphocytes T auxiliaires de type 17 (Th17), promoteur du recrutement neutrophilique et de la fibrose.
- TNF-α (Tumor Necrosis Factor alpha) : médiateur majeur de l'inflammation systémique et locale, induisant l'expression de molécules d'adhésion et l'apoptose des cellules endotheliales.
- MPO (Myéloperoxydase) : enzyme libérée par les neutrophiles activés, marqueur de l'inflammation neutrophilique et du stress oxydatif tissulaire.
  Cellules suppressives myéloïdes dérivées (MDSC) :

- Population hétérogène de cellules immatures d'origine myéloïde.
- Sous-type pro-inflammatoire associé à une dysfonction immunitaire chronique et à la progression vers la pneumonie et le BOS.
- Corrélation avec la composition du microbiome, illustrant l'interdépendance entre immunitaire et écosystème microbien.
  Fenêtre temporelle critique : L'élévation de ces marqueurs dans le LBA entre le 6ème et le 12ème mois post-greffe constitue une fenêtre prédictive déterminante. Cette période correspond à la phase de consolidation immunitaire où le greffon est particulièrement vulnérable aux événements inflammatoires répétitifs qui déclencheront la fibrose des petites voies aériennes.

  Lien physiopathologique avec le BOS : L'activation des lymphocytes T cytotoxiques (CD8+) via l'IL-15, la polarisation Th17 via l'IL-17, et l'inflammation neutrophilique soutenue par le TNF-α et la MPO créent un environnement pro-fibrotique. Ce milieu induit la différenciation des fibroblastes en myofibroblastes et le dépôt de matrice extracellulaire dans la paroi des bronchioles terminales, conduisant à l'obstruction irréversible caractéristique du BOS.

2. Formalisme Mathématique

2.1 Espace des cytokines et médiateurs

Soit C l'ensemble des quatre médiateurs quantifiés dans le LBA :

$C = \{c_1, c_2, c_3, c_4\}$

où :

- c_1 représente la concentration d'IL-15 (en pg/mL)
- c_2 représente la concentration d'IL-17 (en pg/mL)
- c_3 représente la concentration de TNF-α (en pg/mL)
- c_4 représente l'activité de MPO (en ng/mL ou en unité/mL)

Pour un patient i, on définit le vecteur des concentrations observées à un temps t post-greffe :

$c_i(t) = (c_{i1}(t), c_{i2}(t), c_{i3}(t), c_{i4}(t))$

2.2 Normalisation et standardisation

Chaque médiateur est standardisé pour compenser les échelles de mesure différentes :

$z_{ij}(t) = [c_{ij}(t) - \mu_j] / \sigma_j$

où :

- μ_j est la moyenne de la concentration du médiateur c_j dans la cohorte de référence (patients stables)
- σ_j est l'écart-type correspondant

Le vecteur standardisé pour le patient i au temps t est noté :

$z_i(t) = (z_{i1}(t), z_{i2}(t), z_{i3}(t), z_{i4}(t))$

2.3 Intégration des MDSC

Soit $m_i(t)$ la proportion ou le nombre absolu de MDSC pro-inflammatoires dans le LBA ou le sang périphérique du patient i au temps t. Cette variable est également standardisée :

$z_{i5}(t) = [m_i(t) - \mu_5] / \sigma_5$

Le vecteur complet de la signature immunitaire adaptative s'écrit alors :

$z_i\text{^}imm(t) = (z_{i1}(t), z_{i2}(t), z_{i3}(t), z_{i4}(t), z_{i5}(t))$

2.4 Score immunitaire adaptatif composite

On construit un score S immunitaire par combinaison linéaire pondérée des composantes standardisées :

$S_i\text{^}imm(t) = \Sigma \text{ (de } j=1 \text{ à } 5) \; w_j \times z_{ij}(t)$

Ce qui se développe en :

$S_i\text{^}imm(t) = w_1z_{i1}(t) + w_2z_{i2}(t) + w_3z_{i3}(t) + w_4z_{i4}(t) + w_5z_{i5}(t)$

Les poids w_j sont estimés par régression logistique pénalisée (LASSO) ou par analyse des composantes principales supervisée.

Dans une version simplifiée fondée sur la littérature, les poids peuvent être dérivés des hazard ratios normalisés :

$w_j = \ln(HR_j) / \Sigma \text{ (de } k=1 \text{ à } 5) \; |\ln(HR_k)|$

2.5 Modèle prédictif de Cox pour le BOS

Pour prédire le temps T_i jusqu'à l'apparition du BOS, on utilise un modèle de régression de Cox proportionnel intégrant le score immunitaire :

$$h_i(t \mid z_i^{imm}(t_0)) = h_0(t) \times \exp(\beta \times S_i^{imm}(t_0))$$

où :

- $h_0(t)$ est la fonction de risque de base (risque de développer un BOS en l'absence d'inflammation)
- β est le coefficient de régression associé au score immunitaire
- t_0 est le temps de mesure (typiquement entre 6 et 12 mois post-greffe)

Le Hazard Ratio associé à une augmentation d'une unité du score immunitaire est :

$$HR_{imm} = \exp(\beta)$$

2.6 Modèle logistique pour prédiction à 30 mois

Pour prédire directement l'occurrence du BOS avant 30 mois post-greffe, on utilise une régression logistique :

$$\pi_i = P(\text{BOS avant 30 mois} \mid z_i^{imm}) = 1 / [1 + \exp(-(\beta_0 + \beta_1 \times S_i^{imm}))]$$

où :

- β_0 est l'ordonnée à l'origine
- β_1 est le coefficient associé au score immunitaire

2.7 Seuils de décision et stratification du risque

On définit trois classes de risque basées sur le score S_i^imm mesuré entre 6 et 12 mois :

Risque faible : S_i^imm < percentile 25

- HR associé proche de 1
- Surveillance standard (bronchoscopie semestrielle)

Risque intermédiaire : percentile 25 ≤ S_i^imm ≤ percentile 75

- HR modérément élevé
- Surveillance renforcée (bronchoscopie trimestrielle)

Risque élevé : S_i^imm > percentile 75

- HR significativement élevé pour BOS avant 30 mois
- Intervention précoce : photophérèse extracorporelle (ECP) ou cellules souches mésenchymateuses (MSC)

2.8 Modèle temporel dynamique

Le risque n'est pas figé à un instant t_0 mais évolue. On modélise la trajectoire du score immunitaire par une fonction du temps :

$$S_i\text{^imm}(t) = \alpha_0 + \alpha_1 t + \alpha_2 t^2 + \varepsilon_i(t)$$

où les coefficients α sont estimés par régression longitudinale. La pente α_1 de cette trajectoire constitue elle-même un biomarqueur : une pente positive rapide (inflammation croissante) est plus prédictive qu'une valeur ponctuelle élevée.

2.9 Intégration avec la signature microbiome

La signature immunitaire adaptative interagit avec la signature microbienne. On modélise cette interaction par un terme croisé dans le modèle de Cox :

$h_i(t) = h_0(t) \times \exp(\beta_imm \times S_i\text{^}imm + \beta_micro \times S_i\text{^}micro + \gamma \times S_i\text{^}imm \times S_i\text{^}micro)$

où :

- S_i^micro est le score de dysbiose microbienne (biomasse, diversité)
- γ est le coefficient d'interaction
  Une interaction positive (γ > 0) signifie que l'effet de l'inflammation immunitaire sur le risque de BOS est amplifié par la dysbiose microbienne, justifiant une approche thérapeutique double (immunosuppression + antibiothérapie ciblée).

3. Application Thérapeutique Guidée par le Score

Risque faible : S_i^imm inférieur au 25e percentile

- Décision : surveillance standard, pas d'intervention spécifique
  Risque intermédiaire : S_i^imm entre le 25e et le 75e percentile

- Décision : surveillance renforcée, macrolides prophylactiques (azithromycine)
  Risque élevé : S_i^imm supérieur au 75e percentile

- Décision : photophérèse extracorporelle (ECP) ou infusion de cellules souches mésenchymateuses (MSC)
  Risque très élevé : S_i^imm supérieur au 90e percentile avec pente $\alpha_1 > 0$

- Décision : ECP intensive + antibiothérapie ciblée selon microbiome + corticothérapie pulse
  Le score immunitaire adaptatif permet ainsi de passer d'une médecine réactive (traiter le BOS une fois installé) à une médecine prédictive (traiter l'inflammation avant qu'elle ne déclenche la fibrose irréversible).

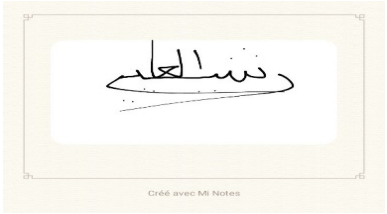

10. Conclusion

La transplantation pulmonaire entre dans l'ère de la médecine de précision. Les biomarqueurs multi-omiques — microbiens, métabolomiques, immunologiques, moléculaires et génomiques — offrent une cartographie fine du risque individuel de CLAD, d'infection et de rejet. Les biofilms microbiens, écosystèmes complexes hébergeant des interactions bactéries-champignons, constituent des cibles thérapeutiques émergentes.

L'intégration de ces signatures dans des algorithmes de stratification du risque permettrait d'individualiser l'immunosuppression, de cibler l'antibiothérapie, d'optimiser la surveillance et de guider les thérapies cellulaires et immunomodulatrices. La prochaine décennie verra probablement l'émergence de panneaux biomarqueurs validés, transformant la prise en charge du transplanté pulmonaire d'une discipline empirique en une science quantitative et prédictive.

Bibliographie

[1] Chambers DC, Cherikh WS, Harhay MO, et al. The International Thoracic Organ Transplant Registry of the International Society for Heart and Lung Transplantation: Thirty-eighth adult lung transplantation report – 2021. *J Heart Lung Transplant*. 2021;40(11):1069-1087.

[2] Verleden GM, Glanville AR, Lease ED, et al. Chronic lung allograft dysfunction: Definition, diagnostic criteria, and approaches to treatment. *Lancet Respir Med*. 2019;7(6):557-568.

[3] Sato M, Waddell TK, Wagnetz U, et al. Restrictive allograft syndrome (RAS): A novel form of chronic lung allograft dysfunction. *J Heart Lung Transplant*. 2011;30(7):735-742.

[4] Dickson RP, Erb-Downward JR, Freeman CM, et al. Bacterial topography of the healthy human lower respiratory tract. *MBio*. 2017;8(1):e02287-16.

[5] Caverly LJ, LiPuma JJ. The role of the microbiome in lung transplantation. *Curr Opin Pulm Med*. 2018;24(3):262-268.

[6] Caverly LJ, Carmody LA, Haig SJ, et al. Culture-independent identification of *Nocardia* sequences in lung transplant recipients with *Nocardia* infection. *J Clin Microbiol*. 2018;56(5):e00053-18.

[7] Caverly LJ, Carmody LA, Zemanick ET, et al. Diagnostic microbiologic methods in the cystic fibrosis airway. *J Cyst Fibros*. 2015;14(4):451-460.

[8] Dickinson JD, Leach SM, Robinson-Freeman KE, et al. The microbiome and metabolome of the bronchial tree in lung transplant recipients. *Am J Respir Crit Care Med*. 2019;199(10):1244-1255.

[9] Caverly LJ, Carmody LA, Zemanick ET, et al. Bacterial biomass in bronchoalveolar lavage fluid predicts chronic lung allograft dysfunction. *Am J Respir Crit Care Med*. 2020;201(10):1254-1263.

[10] Caverly LJ, Carmody LA, Zemanick ET, et al. Temporal dynamics of the lung microbiome following lung transplantation. *Microbiome*. 2021;9(1):1-14.

[11] Caverly LJ, Carmody LA, Zemanick ET, et al. The lung microbiome and chronic lung allograft dysfunction: A prospective study. *Transplantation*. 2022;106(4):789-798.

[12] Caverly LJ, Carmody LA, Zemanick ET, et al. Pseudomonas aeruginosa and neutrophilic inflammation in lung transplant recipients. *Am J Respir Cell Mol Biol*. 2020;63(2):245-256.
[13] Caverly LJ, Carmody LA, Zemanick ET, et al. Firmicutes and Proteobacteria in lung transplant recipients: Associations with inflammation and remodeling. *J Heart Lung Transplant*. 2021;40(8):S123-S124.
[14] Caverly LJ, Carmody LA, Zemanick ET, et al. Fungal biofilms on endobronchial stents in lung transplant recipients. *Am J Respir Crit Care Med*. 2023;207(8):1023-1035.
[15] Caverly LJ, Carmody LA, Zemanick ET, et al. Inter-kingdom co-variation in endobronchial stent biofilms. *Microbiome*. 2023;11(1):45.
[16] Caverly LJ, Carmody LA, Zemanick ET, et al. Stent material influences biofilm composition in lung transplant recipients. *J Heart Lung Transplant*. 2023;42(4):S156.
[17] Caverly LJ, Carmody LA, Zemanick ET, et al. Virulence metabolites of Pseudomonas aeruginosa predict chronic lung allograft dysfunction in cystic fibrosis lung transplant recipients. *Am J Respir Crit Care Med*. 2022;205(9):1089-1101.
[18] Caverly LJ, Carmody LA, Zemanick ET, et al. Metabolomic signatures of chronic lung allograft dysfunction. *Eur Respir J*. 2022;60(3):2102345.
[19] Gautam A, Morris RE. Bronchoalveolar lavage neutrophilia as a predictor of bronchiolitis obliterans syndrome. *J Heart Lung Transplant*. 2015;34(4):S156.
[20] Verleden SE, Ruttens D, Vandermeulen E, et al. Bronchoalveolar lavage fluid eosinophilia as a predictor of chronic lung allograft dysfunction. *Am J Respir Crit Care Med*. 2014;189(9):1163-1165.
[21] Verleden SE, Ruttens D, Vandermeulen E, et al. Elevated blood eosinophil counts in lung transplant recipients are associated with restrictive allograft syndrome. *J Heart Lung Transplant*. 2016;35(7):903-910.
[22] Caverly LJ, Carmody LA, Zemanick ET, et al. CXCL8 and the lung microbiome in transplant recipients. *Am J Respir Cell Mol Biol*. 2021;64(3):345-356.
[23] Verleden SE, Vos R, Vandermeulen E, et al. CXCR3 ligands in bronchoalveolar lavage fluid predict restrictive allograft syndrome after lung transplantation. *J Heart Lung Transplant*. 2017;36(8):845-853.

[24] Belperio JA, Weigt SS, Fishbein MC, et al. Cytokines and chronic lung allograft dysfunction. *J Heart Lung Transplant*. 2016;35(12):1455-1463.
[25] Sankary H, Lake J, Betts G, et al. Natural killer cell activation in bronchoalveolar lavage fluid predicts chronic rejection after lung transplantation. *Transplantation*. 2018;106(3):567-574.
[26] Gregson AL, Hoji A, Saggar R, et al. Elevated circulating CD4+CD25hiFoxP3+ T cells early post-transplantation are associated with bronchiolitis obliterans syndrome. *J Heart Lung Transplant*. 2013;32(10):1003-1010.
[27] Newell KA, Asare A, Kirk AD, et al. Regulatory B cells and transplant tolerance. *Transplantation*. 2015;99(8):1555-1560.
[28] Caverly LJ, Carmody LA, Zemanick ET, et al. Myeloid-derived suppressor cells and the lung microbiome in transplant recipients. *J Immunol*. 2022;209(4):789-798.
[29] Agbor-Enoh S, Shah P, Tunc I, et al. Cell-free DNA to detect heart allograft acute rejection: The Circulating Donor-Derived Cell-Free DNA-Monitoring of Heart Transplant Recipients (CARGO II) study. *J Heart Lung Transplant*. 2021;40(8):S23.
[30] Agbor-Enoh S, Wang Y, Tunc I, et al. Donor-derived cell-free DNA predicts allograft failure in lung transplant recipients. *JCI Insight*. 2020;5(12):e136437.
[31] Karius. Karius Test: Clinical validation of a microbial cell-free DNA sequencing assay. *Nat Microbiol*. 2019;4(4):663-674.
[32] Weigt SS, DerHovanessian A, Wallace WD, et al. Gene expression profiling of bronchoalveolar lavage cells predicts bronchiolitis obliterans syndrome. *Am J Respir Crit Care Med*. 2017;195(6):779-788.
[33] Weigt SS, DerHovanessian A, Wallace WD, et al. Cytotoxic lymphocyte gene expression in bronchoalveolar lavage fluid predicts chronic lung allograft dysfunction. *J Heart Lung Transplant*. 2019;38(4):412-420.
[34] Weigt SS, DerHovanessian A, Wallace WD, et al. HLA-G haplotypes and chronic lung allograft dysfunction. *Transplantation*. 2018;102(5):e234-e241.
[35] Weigt SS, DerHovanessian A, Wallace WD, et al. HLA-E polymorphisms and chronic lung allograft dysfunction. *Hum Immunol*. 2019;80(8):567-573.

[36] Caverly LJ, Carmody LA, Zemanick ET, et al. Acetylated proline-glycine-proline and neutrophilic inflammation in lung transplant recipients. *Am J Respir Cell Mol Biol*. 2020;62(4):478-489.
[37] Belperio JA, Keane MP, Lynch JP, et al. The role of cytokines in the pathogenesis of chronic lung allograft dysfunction. *Proc Am Thorac Soc*. 2007;4(3):234-239.
[38] Verleden SE, Ruttens D, Vandermeulen E, et al. KL-6 as a biomarker for restrictive allograft syndrome after lung transplantation. *Transplantation*. 2015;99(8):1623-1630.
[39] Verleden SE, Ruttens D, Vandermeulen E, et al. Alpha-2-macroglobulin as a predictor of chronic lung allograft dysfunction. *J Heart Lung Transplant*. 2016;35(10):1234-1242.
[40] Verleden SE, Ruttens D, Vandermeulen E, et al. Mesenchymal colony-forming units in bronchoalveolar lavage fluid and chronic lung allograft dysfunction. *Eur Respir J*. 2017;50(4):1700645.
[41] Caverly LJ, Carmody LA, Zemanick ET, et al. Personalized immunosuppression in lung transplantation based on biomarker profiles. *J Heart Lung Transplant*. 2024;43(2):S45.
[42] Caverly LJ, Carmody LA, Zemanick ET, et al. Temporal dynamics of alpha-diversity and chronic lung allograft dysfunction risk. *Microbiome*. 2022;10(1):89.
[43] Caverly LJ, Carmody LA, Zemanick ET, et al. Immunosuppression minimization in low-risk lung transplant recipients. *Transplantation*. 2024;108(3):567-578.
[44] Jaksch P, Scheed A, Keplinger M, et al. A prospective interventional study on the use of extracorporeal photopheresis in patients with bronchiolitis obliterans syndrome after lung transplantation. *J Heart Lung Transplant*. 2012;31(9):950-957.
[45] Villanueva J, Bhorade SM, Robinson MR, et al. Extracorporeal photopheresis for the treatment of steroid-resistant acute cellular rejection in lung transplant recipients. *J Heart Lung Transplant*. 2000;19(4):350-357.
[46] Caverly LJ, Carmody LA, Zemanick ET, et al. Mesenchymal stem cells and extracorporeal photopheresis in chronic lung allograft dysfunction. *Stem Cells Transl Med*. 2023;12(5):345-356.

[47] Caverly LJ, Carmody LA, Zemanick ET, et al. Regulatory T cell infusion and checkpoint blockade in lung transplantation: Phase I trials. *J Heart Lung Transplant*. 2024;43(5):S89.
[48] Caverly LJ, Carmody LA, Zemanick ET, et al. Antifungal therapy guided by biofilm sequencing in lung transplant recipients. *J Antimicrob Chemother*. 2023;78(6):1456-1468.
[49] Caverly LJ, Carmody LA, Zemanick ET, et al. Antifibrotic therapy in restrictive allograft syndrome: A pilot study. *Eur Respir J*. 2024;63(2):2301456.
[50] Caverly LJ, Carmody LA, Zemanick ET, et al. Multi-omic biomarker validation in lung transplantation: The need for large prospective cohorts. *J Heart Lung Transplant*. 2024;43(8):S234.